

東京大学大学院 学 〇赤井 大郎
新日本製鉄 三木 理
東京大学工学部 正 大垣 真一郎

1. はじめに 感潮域に放流された2次処理水水质の挙動は、淡水域に放流された場合と異なる。硝化作用は、Monod型の硝化菌増殖速度式で表現され、塩分による阻害を受けることがわかつていて。⁽¹⁾ 本報告は、生物量を直接考慮した硝化モデルを立て、数値計算により、その挙動を調べたものである。また、塩分による硝化作用の阻害の影響を、このモデルを用いて調べた。

2. Monod型硝化菌増殖モデルの定式化と計算結果

硝化菌量を直接考慮した硝化作用モデルを、(表-1)に示す。パラメーターの値を変化させ、その影響を調べた結果を以下に述べる。

(i) 初期亜硝酸化菌濃度($X_{2,0}$)を、変化させた結果を(図-1)に示す。この初期菌体量を大きくすると、亜硝酸性窒素($\text{NO}_2\text{-N}$)の最大蓄積濃度は、著しく減少する。アンモニア性窒素($\text{NH}_4\text{-N}$)には、全く影響がない。

(ii) アンモニア酸化菌の収率(Y_1)と亜硝酸化菌の収率(Y_2)を、 $Y_1=Y_2$ と仮定し、この収率を変化させた結果を(図-2)に示す。収率が大きくなると、 $\text{NO}_2\text{-N}$ の蓄積期間が、著しく増加する。最大蓄積濃度は、わずかに増加する。

(iii) アンモニア酸化菌のMonod型増殖反応式の飽和定数 K_1 を、変化させた結果を(図-3)に示す。飽和定数 K_1 を大きくすると、 $\text{NH}_4\text{-N}$ の酸化が、少なり遅れる。 $\text{NO}_2\text{-N}$ の最大蓄積濃度には、ほとんど影響がない。

(iv) 亜硝酸化菌のMonod式の飽和定数 K_2 を、変化させた結果を(図-4)に示す。飽和定数 K_2 を、大きくすると、 $\text{NO}_2\text{-N}$ が著しく蓄積する。なぜならば、 $\text{NO}_2\text{-N}$ の濃度($\text{NO}_2\text{-N} < 5 \text{ mg/l}$) $\times K_2$ の値(0.05, 1.5 mg/l)が、大きく異ならないためである。 $\text{NH}_4\text{-N}$ には、ほとんど影響がない。

[表-1] 硝化作用モデルの定式化

$$(1) \frac{dX_1}{dt} = \mu_{1m} \frac{S_1}{K_1 + S_1} X_1 \quad [増殖式]$$

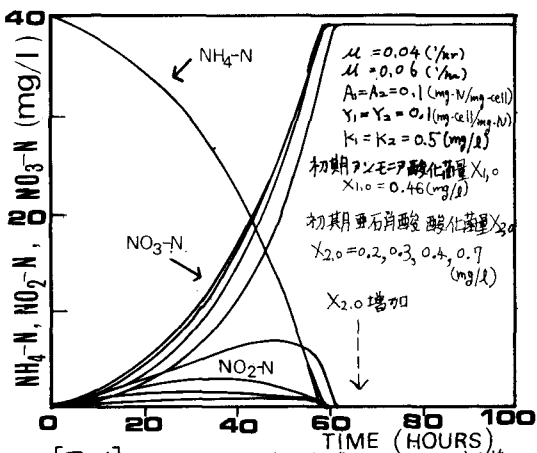
$$(2) \frac{dX_2}{dt} = \mu_{2m} \frac{S_2}{K_2 + S_2} X_2$$

$$(3) \frac{dS_2}{dt} = - \frac{dS_1}{dt} - A_1 \frac{dX_1}{dt} - \frac{1}{Y_2} \frac{dX_2}{dt}$$

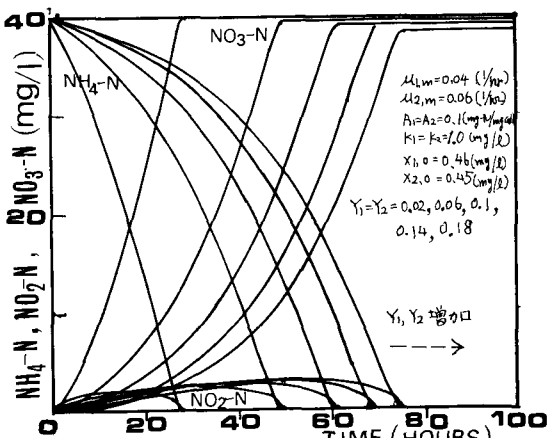
$$(4) \frac{dX_1}{dt} = - Y_1 \frac{dS_1}{dt} \quad [菌体量・基質量・室素収率] \uparrow$$

$$(5) \frac{dX_2}{dt} = Y_2 \left(\frac{dS_3}{dt} + A_2 \frac{dX_2}{dt} \right) \quad [菌体量・基質量・室素収率]$$

X_1 : アンモニア酸化菌濃度
 X_2 : 亜硝酸化菌濃度
 μ_{1m} : X_1 の最大比増殖速度
 μ_{2m} : X_2 の最大比増殖速度
 K_1, K_2 : X_1, X_2 に対する Monod 式の飽和定数
 S_1 : アンモニア性窒素濃度
 S_2 : 亜硝酸性窒素濃度
 S_3 : 硝酸性窒素濃度
 A_1 : X_1 の窒素含有率
 A_2 : X_2 の窒素含有率
 Y_1 : X_1 の菌体収率
 Y_2 : X_2 の菌体収率



[図-1] 初期亜硝酸化菌濃度の影響の計算結果



[図-2] 収率の影響の計算結果

3. 塩分の硝化作用に対する非拮抗阻害の影響

非拮抗阻害とは、基質と構造上の類似性のない阻害剤(I)が、酵素または酵素-基質複合体と反応し、生産物の生成を阻害する反応である。

生産物の生成速度をVとするとき、次のように表わされる。

$$V = \frac{V_m \cdot S}{(K_m + S)(1 + I/K_i)} \quad \text{--- (6) 式}$$

阻害のない場合の生成速度V₀は、次のように表わされる。

$$V_0 = \frac{V_m \cdot S}{K_m + S} \quad \text{--- (7) 式}$$

ここで、K_m: Michaelis 定数、K_i: 阻害剤-酵素平衡定数、V: 生産物生成速度、V₀: 阻害のない場合の生成速度、V_m: 最大反応速度、S: 基質濃度、I: 阻害剤濃度である。

阻害率Dを、 $D = 1 - V/V_0$ とすると、阻害率の逆数は次のようになる。

$$1/D = 1 + K_i/I \quad \text{--- (8) 式}$$

塩分の、硝化作用に対する阻害に関する、V × V_mを、それぞれ、アンモニア酸化菌の比増殖速度μ₁と最大比増殖速度μ_{1,m}; K_mを、Monod型増殖式の飽和定数K₁; SをNH₄-N濃度; Iを人工海水濃度と考える。

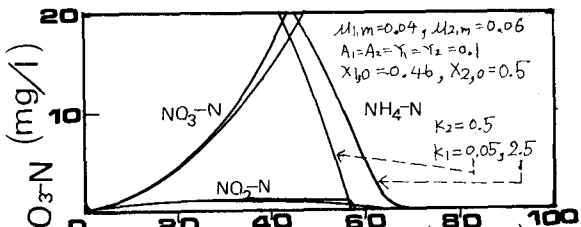
(図-5)に示す回分硝化実験結果を、(8)式で整理した結果を(図-6)に示す。これらより、アンモニア酸化作用に対する塩分の影響を、非拮抗阻害型反応として説明できることがわかった。

阻害の大きさを、(表-1)のモデルを用いて算した結果を、(図-7)に示す。

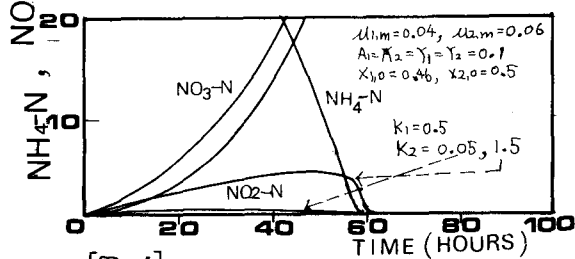
計算にあたり、亜硝酸酸化菌に対する阻害作用は、アンモニア酸化菌と同じく、(3)式で表わされると考へた。μ₁には、(図-5)中の実測値を用い、μ₂には、その1.5倍の値⁽³⁾を用いた。

塩分濃度が高くなると、硝化反応が著しく遅れることがわかる。NH₄-Nの酵化が終るまでの期間が、海水濃度50%では、淡水に比べ約5倍長くなる。最大蓄積NO₂-N濃度は

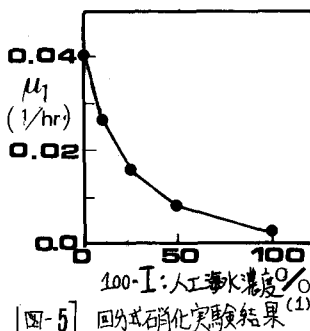
参考文献(1)三木井井(1982); (2)日本水質汚濁学会編集
 変化しない。(3)合衆国生物化学学会(1975); (3)Downing et al. J. Gen. Microbiol. 38, 263 (1965)



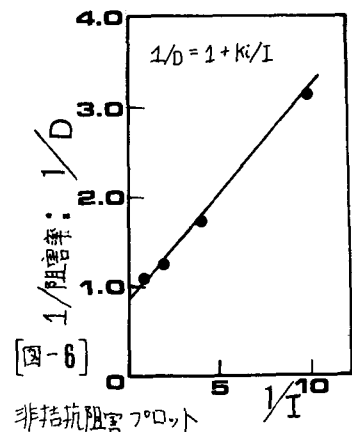
[図-3] 食包和定数K₁の影響の計算結果



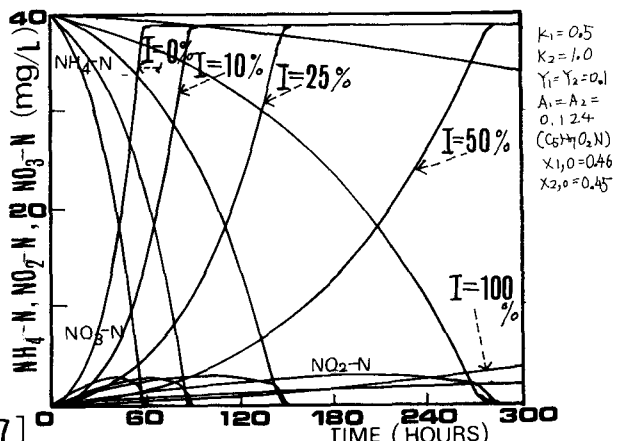
[図-4] 飽和定数K₂の影響の計算結果



[図-5] 回分式硝化実験結果



[図-6] 非拮抗阻害プロット



[図-7] 塩分(海水)濃度Iによる阻害作用の計算結果